

УДК 534.2

## ПУЛЬСАЦИИ ДАВЛЕНИЯ В КОЛЬЦЕВЫХ СОПЛАХ

В. А. ЛЮТЫЙ, Л. В. НОВИКОВ, А. И. ШВЕЦ

(Москва)

Колебания донного давления при истечении струй зависят от многих факторов, основными из которых являются квазистационарные перестройки течения в кольцевых струях или многослойных компоновках, акустическое излучение струй и нестационарность течения в донной области.

В последние годы большое внимание уделяется изучению кольцевых струй, что связано с рядом практических задач. В этом случае наибольший интерес представляет нестационарное воздействие на донный срез кольцевого сопла, вызываемое расходными колебаниями и дискретным акустическим излучением. Схемы течений, соответствующие этим колебаниям, были рассмотрены в докладе Г. И. Петрова в 1968 г. При определенной степени нерасчетности у кольцевых струй возникают мощные низкочастотные расходные колебания, интенсивность которых более чем на порядок превышает интенсивность акустических. Эти колебания появляются в ограниченном диапазоне чисел  $Re$  и в отличие от дискретного тона, который распространяется с разных сторон струи в противофазе, имеют одинаковую фазу.

При реализации второго типа колебаний — акустического резонанса с обратной связью, волны излучаются колеблющимися со сверхзвуковой скоростью участками струи, расположенными вблизи области распада. Эта схема подтверждается теоретическими и экспериментальными данными [1-3]: частота колебаний струи связана с частотой дискретного тона, колебания с разных сторон струи находятся в противофазе, при дискретном излучении колебания значительно сильнее и струя распадается ближе к соплу.

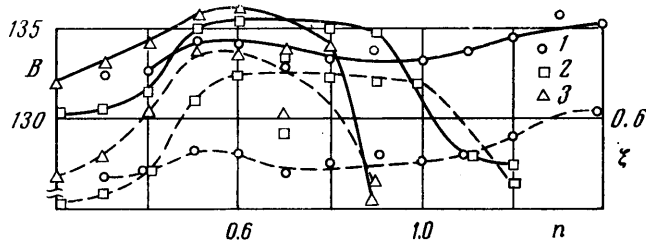
Ниже изложены результаты исследований пульсаций донного давления на торце кольцевого сопла, связанные с акустическим излучением сверхзвуковых струй.

Для исследования пульсаций давления применялись плоские в радиальном сечении сопла с диаметром наружной части среза 110 мм, внутренней — 88 мм. В центре торцевой части устанавливался индуктивный датчик давления. Мембранные индуктивные дифференциальные преобразователи использованы в схеме с противодавлением. Регистрация сигнала проведена на пятиканальном аппарате магнитной записи с предварительным усиливанием на станции с несущей частотой 36 000 гц. Калибровка преобразователей и усиительно-регистрационного тракта проведена с помощью пульсатора резонансного типа, а также микрофона, усилителя и магнитного регистратора фирмы «Брюль и Кьер». Результаты калибровки позволяют заключить, что среднеквадратичная погрешность измерений амплитуд пульсаций не превышает  $\pm 3$  %, а частот  $\pm 3\%$ .

При истечении кольцевой струи реализуется два режима — с открытой и закрытой донной областью. Первый режим характеризуется снижением донного давления, а второй — повышением. В режиме открытой донной области кольцевая струя сохраняет сверхзвуковую структуру на протяжении нескольких ячеек (3-4). Закрытие донной области — критический режим, происходит при распространении сверхзвукового участка до места взаимодействия струй, при этом струя перестраивается таким образом, что донная область окружена только первой ячейкой струи. В зависимости от расчетного числа Маха и формы сопла критический режим может наступать как для перерасширенной, так и для недорасширенной струи. Критический режим для сопл  $M_a=2, 3.1$  и  $3.6$  реализуется при степени пересчетности  $n=1.8, 1$  и  $0.9$  соответственно.

В процессе проведения экспериментов была определена зависимость интегрального уровня пульсации давления  $B$  от величины нерасчетности  $n$  (фиг. 1, сплошные кривые). Здесь  $B=20\lg B_i/B_0$ ,  $B_i$  — измеренная величи-

на пульсаций,  $B_0=2 \cdot 10^{-6}$  кг/м<sup>2</sup> – нулевой уровень,  $M_a=2$ , 3.1 и 3.6 – обозначения 1, 2, 3 соответственно. Для всех сопл повышение давления в форкамере, соответствующее увеличению скорости истекающей струи до нерасчетности  $n \approx 0.6$ , сопровождается ростом пульсаций. Последующее возрастание нерасчетности для сопл с  $M_a=3.1$  и 3.6 вызывает снижение уровня пульсаций. В отличие от этих сопл для  $M_a=2$  переход к режиму недорасширенной струи происходит с увеличением  $B$ . Характерной особенностью кольцевых струй является резкое снижение уровня пульсаций давления в критическом режиме.



Фиг. 1

В некоторых случаях наряду с измерениями пульсаций давления на донном срезе выполнялись измерения акустического излучения струй. Эти измерения проводились с помощью индуктивного датчика и конденсаторного микрофона, установленных под углом 150° к направлению струй на расстоянии 0,5 и 100 диаметров сопла. В критическом режиме наблюдалось значительное снижение уровня звукового давления. Этот результат может быть использован для определения момента перехода от открытой к закрытой донной области только по акустическим измерениям.

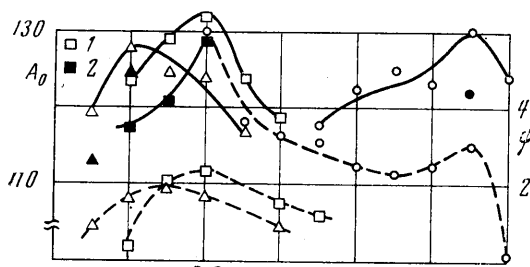
Величина пульсаций давления характеризует дополнительное переменное давление, возникающее при прохождении волны. Давление в открытой зоне внутри струи существенно отличается от давления в окружающем пространстве, поэтому параметры течения в этой зоне влияют на прохождение волны к донному срезу. Для качественного анализа интенсивности источников пульсаций можно применить величину  $\xi = kB_i^2/\rho c_b$ , где  $\rho$  и  $c_b$  – плотность и скорость звука в отрывной зоне, предполагая, что на торце сопла распределение пульсаций постоянно (фиг. 1, пунктир). Величина  $\xi$  аналогична среднему потоку звуковой энергии, проходящему через единицу площади в случае плоской звуковой волны. Видно, что поведение кривых  $\xi=f(n)$  аналогично зависимостям  $B=f(n)$ .

Сверхзвуковая струя является источником трех типов акустических излучений: граничных возмущений, турбулентного шума и дискретного тона. Одним из основных источников шума сверхзвуковых струй являются пограничные возмущения [4].

При измерении шума струи в задней полусфере наблюдался широкий максимум шумового спектра. Формирование широкого максимума в спектре пульсаций давления в одних случаях проявляется сильно и обнаруживается в большем диапазоне нерасчетностей, а в других случаях выражено слабее. Четких зависимостей между режимом истечения и положением широкого максимума не установлено, однако было замечено значительное превышение более чем на 10 дБ, этого максимума для сопла с  $M_a=3.1$  по сравнению с другими соплами, а начиная с  $n=0.7-0.8$  происходит возрастание максимума для всех сопл. В опытах наблюдалось смещение широкого максимума в область низких частот с ростом степени нерасчетности.

В режиме перерасширения присутствуют амплитуды дискретной со-

ставляющей  $A_0$  (сплошные кривые, основной тон — 1, первая гармоника — 2 на фиг. 2) для сопла с  $M_a=3.1$  и 3.6, причем по мере повышения числа Маха они наблюдаются при меньшей нерасчетности. Гармоники  $A_0$  сильнее проявляются для  $M_a=3.1$ . Поведение кривой, характеризующей пре-



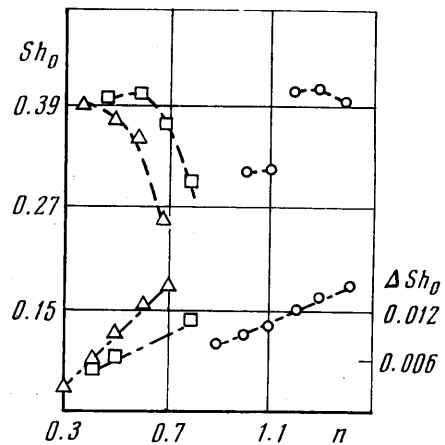
Фиг. 2

тический резонанс затухает при расчетном истечении. Как исключение можно отметить работу [5], в которой при исследовании спектра шума осесимметричной струи с  $M_a=2$  дискретный тон был обнаружен при нерасчетности  $n=1$ . Реализацию дискретного излучения в расчетном режиме кольцевой струи можно объяснить тем, что степень нерасчетности определяется по отношению к наружному давлению, а при  $n=1$ , струя будет нерасчетной по отношению к внутреннему давлению, что приводит к схеме течения с системами волн сжатия и разрежения, различными с внешней и внутренней сторон струи. Одним из основных результатов опытов является то, что дискретная составляющая в спектре пульсаций затухает при подходе к критическому режиму. Измерения в ближнем и дальнем звуковом поле также показывают исчезновение дискретного тона в критическом режиме.

Акустическое излучение сверхзвуковой кольцевой струи распространяется как в окружающее пространство, так и во внутреннюю область за центральным теплом сопла. Качественную картину влияния степени нерасчетности на отношение мощности пульсаций давления на торце сопла к полной мощности струи можно получить, считая, что распределение пульсаций по торцу равномерное (фиг. 2, пунктир)  $\psi=k\xi\pi d_a^2/4N$ , где  $d_a$  — диаметр торца сопла,  $N$  — полная мощность струи. Для сопла с  $M_a=2$  в режиме недорасширения, где амплитуда дискретной составляющей максимальная, наблюдается также максимум величины  $\psi$ . Относительно большое значение  $\psi$  в режиме перерасширения объясняется тем, что давление в отрывной зоне не намного ниже давления в окружающей среде, поэтому передача энергии пульсации к донному срезу происходит без существенных потерь. Для

повышение амплитуды дискретной составляющей над соседними амплитудами сплошного спектра  $\Delta A_0$ , аналогично поведению кривой  $A_0$ . Превышение амплитуды  $\Delta A_0$  достигает 22 дБ.

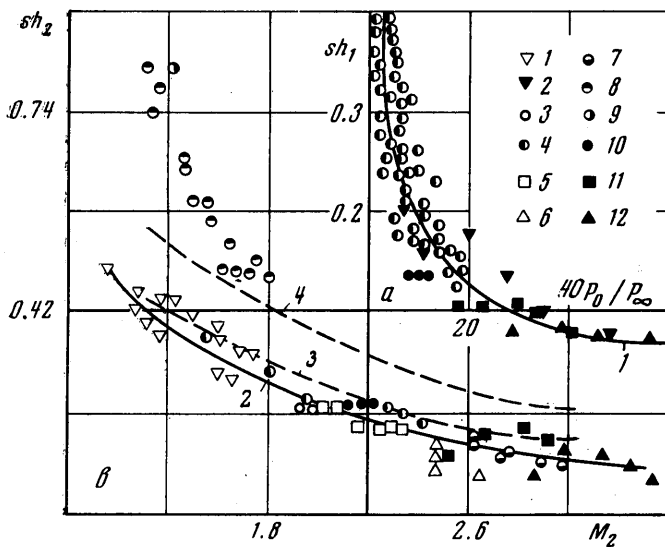
Дискретные составляющие для сопла с  $M_a=2$  начинаются с нерасчетности  $n=-0.9$  и достигают максимального значения при  $n=1.3$ , следовательно, существуют и при  $n=1$ , в то время как у цилиндрических струй аку-



Фиг. 3

струй с  $M_a=3.1$  и  $3.6$  величина  $\psi$  достаточно хорошо согласуется с амплитудой  $A_0$ . Это свидетельствует о том, что дискретное излучение является одним из наиболее эффективных источников в образовании пульсаций давления.

По спектрограммам определялись участки, на которых находились дискретные составляющие, а затем каждый участок анализировался с растянутым по частоте масштабом. Это позволило, учитывая использование узкополосного анализатора, довольно точно получить числа Струхала  $Sh = f_0 d / c_\infty$ , где  $d$  — внешний диаметр кольцевого сопла,



Фиг. 4

соответствующие частоте дискретной составляющей (фиг. 3, пунктир). У сопла с  $M_a=2$  дискретная составляющая имеет разрыв частоты вблизи расчетного режима. Для сопл, излучающих дискретную составляющую в режиме перерасширения, как увеличение нерасчетности, так и рост числа Маха приводят к монотонному снижению частоты. Аналогичные зависимости получаются у сплошных струй, истекающих из сверхзвуковых сопл [6, 7]. У звуковых сопл [3, 8] и у эжекторов [9, 10] зависимости  $f_0 = f(n)$  имеют разрыв, причем у эжекторов наблюдается затягивание колебаний на одной частоте после разрыва. При достижении максимальных амплитуд  $A_0$  соответствующие частоты у испытанных сопл также максимальные и примерно равны ( $Sh=0.4$ ).

Для сопла с  $M_a=2$  дискретная составляющая имеет более высокие частоты, чем частота широкого максимума и только вблизи максимума происходит смещение широкого максимума к  $f_0$ . Сопло с  $M_a=3.1$  имеет максимум  $A_0$  при  $n=0.6$  и при этой нерасчетности также совпадают частоты широкого максимума и дискретной составляющей, хотя выше по  $n$  частота дискретной составляющей смещается на спектре вправо. Наконец, у сопла с  $M_a=3.6$ , начиная от максимальной амплитуды  $A_0$  и далее по  $n$ , сплошной максимум совпадает с  $f_0$ . Из сопоставления этих данных видно, что в случаях, когда  $A_0$  достигает максимума, частота широкого максимума смещается к частоте дискретной составляющей.

Рассмотрим часть спектра, относящуюся к дискретной составляющей. Используемый анализатор имеет достаточно узкую полосу пропускания

(7 гц), что позволяет произвести оценку изменения ширины полосы дискретной составляющей (фиг. 3, штрихпунктир). Диапазон частот, в котором выделяются амплитуды  $A_0$ , сравнительно мал и составляет  $\Delta Sh_0 = 0.004 + 0.015$  (15÷60 гц). По приведенным данным видно, что по мере роста нерасчетности частотная ширина полосы увеличивается. Если предположить, что параметр  $\Delta Sh_0$  сохраняется постоянным при изменении характерного размера, то видно, что по мере увеличения диаметра сопла частотная ширина полосы должна увеличиваться.

Проведем сравнение безразмерных частот дискретных составляющих спектров пульсаций давления с данными излучения дискретных тонов сплошными струями. Зависимость числа Струхаля  $Sh_1 = f_0 d_1 / c_\infty$  от относительного давления в форкамере  $p_0 / p_\infty$  дана на фиг. 4,а ( $d_1$  для осесимметричных сопл — диаметр критического сечения, для кольцевых сопл — эквивалентный по площади критического сечения диаметр круглого сопла).

При анализе данных измерений частоты дискретного тона цилиндрических и прямоугольных струй [7] установлено, что при специальной обработке результатов экспериментов в виде зависимости числа Струхаля  $Sh_2$  от среднего числа Маха в струе  $M_2$  все данные образуют единую кривую. Число Струхаля

$$Sh_2 = f_0 d_2 / c_\infty \quad (d_2 = 1.78 \sqrt{GT^{1/2} / q(M_2) p_0})$$

где  $d_2$  — приведенный по расходу диаметр кольцевой струи,  $G$  — секундный расход воздуха через сопло,  $T_0$ ,  $p_0$  — температура и давление воздуха в форкамере. На фиг. 4 наряду с данными для кольцевых струй нанесены результаты ряда экспериментов для сплошных струй.

Обозначение  $\Delta n$  (см. таблицу) соответствует диапазону нерасчетностей, в котором возникает излучение дискретного тона.

По экспериментальным данным для цилиндрических струй построена зависимость  $Sh_1 = 0.567 (p_0 / p_\infty - 1)^{-1/2}$  (кривая 1) [8], которая согласуется с формулой Паузэлла [3] при малых значениях  $n$ . Как видно из графика, значения  $Sh_1$  для кольцевых струй, полученные в расширенном диапазоне величины  $p_0 / p_\infty$ , удовлетворительно совпадают с данными для цилиндрических струй, следовательно, характерным размером при вычислении числа  $Sh_1$  кольцевых струй может служить диаметр эквивалентного по площади критического сечения круглого сопла.

В координатах  $M_2$  и  $Sh_2$  данные для широкого класса осесимметричных и прямоугольных сопл можно аппроксимировать формулой

$$Sh_2 = 0.85 [\sqrt{M_2^2 - 1} + c_\infty / c_a]^{-1}$$

(фиг. 4, б, кривая 2) [7]. Как видно из графика, результаты экспериментов для круглых и кольцевых струй образуют единую кривую. Таким образом, у кольцевой струи определяющим параметром для  $Sh_2$  также является число Маха струи  $M_2$ , определенное по изоэнтроническому отношению давления.

В работе [13] получена формула для критических частот внешних акустических волн, при которых имеет место максимальное усиление возмущений в расчетной струе

$$Sh' = f' d' / c = \frac{h(n)}{\sqrt{(c_\infty / c_a + M_a)^2 - 1}}$$

Здесь  $d'$  для цилиндрической струи — диаметр, для плоской — толщина

$$h(n) = \begin{cases} n^{-1/2} & (m=0, j=0) \\ n & (m=0, j=1) \\ \mu^\circ/\pi & (m=1, j=0) \\ \mu'/\pi & (m=1, j=1) \end{cases}$$

где  $m=0$  для плоского и  $m=1$  для цилиндрического случаев,  $j=0$  для симметричных и  $j=1$  для антисимметричных возмущений во внешней волне,  $\mu^\circ$  и  $\mu'$  —  $n$ -е корни функций Бесселя  $I_0$  и  $I_1$ . Первые два значения функции  $h(n)$  для цилиндрического случая соответственно равны 0.76 и 1.66 при  $j=0$  и 1.22 и 2.23 при  $j=1$ . На фиг. 4 построены расчетные кривые для плоской и цилиндрической струй в случае антисимметричного акустического поля (3 и 4).

Исследования низкочастотного приближения дисперсионного уравнения двухслойной цилиндрической струи [2] показали, что колцевая струя стремится колебаться как единое целое.

Известно, что колебания плоских струй осесимметричные, у круглых струй — преимущественно изгибы, однако существуют режимы истечения, когда колебания симметричные. Расчет критических частот плоской струи показал, что в симметричном внешнем акустическом поле струя более стабильна, чем в антисимметричном [14].

В режиме открытой донной области обратная связь, по-видимому, возникает вследствие излучения волн несколькими периодическими ячейками струи.

В критическом режиме до слияния струй существует только одна ячейка. В этом случае вся струя не имеет определенной периодической структуры, не колебается как единое целое и резонансный процесс не осуществляется.

Авторы благодарят Г. И. Петрова за постановку задачи и внимание к работе.

Институт механики МГУ

Поступила 15 XII 1971

#### ЛИТЕРАТУРА

1. Римский-Корсаков А. В. Исследование аэродинамических шумов. Тр. Акуст. ин-та АН СССР, 1970, вып. 10.
2. Седельников Т. Х. Автоколебательное шумообразование при истечении газовых струй. М., «Наука», 1971.
3. Powell A. A. On the mechanism of choked jet noise. Proc. Phys. Soc., 1953, vol. B 66, No. 408.
4. Фокс, Вильямс Д. Е. Шум высокоскоростных ракет. Сб. «Случайные колебания». М., «Мир», 1967.

5. Беленков В. Д. Акустическое излучение сверхзвуковой струи в сторону среза сопла при различных режимах нерасчетности. Уч. зап. ЛГУ, Газодинамика и теплообмен, сб. 2, 1969.
6. Мамин В. Н., Римский-Корсаков А. В. Некоторые экспериментальные исследования свиста сверхзвуковой воздушной струи. Тр. Акуст. ин-та АН СССР, вып. 9, стр. 109.
7. Ануфриев В. М., Комаров В. В., Купцов В. М., Мельников Д. А., Сергиенко А. А. Дискретная составляющая в спектре шума сверхзвуковых струй. Изв. АН СССР, МЖГ, 1969, № 5.
8. Hamitt A. C. The oscillation and noise of an overpressure sonic jet. J. Aerospace Sci., 1961, vol. 28, No. 9.
9. Пыхов Л. С. О форме колебаний сверхзвуковой струи в эжекторе. VI Всесоюзная акустическая конференция. М., «Наука», 1968.
10. Middleton P. The noise of ejectors. Aeronaut. Res. Council Rep. and Mem., 1965, No. 3389.
11. Merle M. Emissions acoustiques associes aux jets d'air supersoniques. J. de Mécanique, 1965, vol. 4, No. 3.
12. Polderwaart L. S., Vink A. T., Wijnands A. P. J. The photographic evidence of the feedback loop of a two dimensional screeching supersonic jet of air. Rept. 6-th Internat. Congr. Acoustics, Tokyo, Japan, August, 1968.
13. Лебедев М. Г., Теленин Г. Ф. Взаимодействие плоских и цилиндрических сверхзвуковых струй с акустическими полями. Научн. тр. Ин-та механ. МГУ, 1972, № 19.
14. Лебедев М. Г., Теленин Г. Ф. Исследование взаимодействия сверхзвуковой струи с акустическим полем. Изв. АН МЖГ, 1970, № 4.